

## 옥수수 엽록체 *rbcL* 유전자의 클로닝

李 在 善·陰 眞 星\*·文 惠 延\*\*·沈 雄 塵

(고려대학교 생물학과, \*목원대학교 미생물학과, \*\*대구대학교 생물공학과)

### Cloning of the *rbcL* Gene from Maize Chloroplast

Lee, Jae Seon, Jin Seong Eum\*, Hye Yeon Moon\*\* and Woong Seop Sim

(Department of Biology, Korea University, Seoul,

\*Department of Microbiology, Mokwon University, Daejeon

and \*\*Department of Biotechnology, Taegu University, Taegu)

#### ABSTRACT

In order to study regulation of *rbcL* gene expression, *rbcL* gene of chloroplast DNA (Cp DNA) from maize was cloned. Cp DNA was isolated from intact chloroplast and digested with *Bam*HI. *Bam*HI 9 fragment of Cp DNA containing *rbcL* gene was ligated to pUC19 and transformed into *E. coli* DH5α. This recombinant plasmid was named pRLYS1. pRLYS1 was hybridized with a part of *rbcL* gene from rice and digested with restriction enzyme *Bam*HI, *Hind*III, and *Pst*I. From these results, it was confirmed that pRLYS1 contains intact *rbcL* gene and orientation of *Bam*HI 9 fragment of Cp DNA in pRLYS1 was determined.

#### 서 론

엽록체가 독특한 자신의 DNA를 갖는다는 것이 20여년 전에 밝혀진 이후, 엽록체 계통의 구조와 조성 그리고 구성 유전자들의 특성과 발현 양식들이 활발하게 연구되고 있다 (Palmer, 1985; Herrmann *et al.*, 1975; Kolondner and Te-wari, 1975).

거의 모든 엽록체 DNA(Cp DNA)는 83-292 kb 크기의 단일 원형분자로 존재해 그 크기가 진핵생물의 핵 DNA에 비해 월등히 작고 내부에 대개 20-25 kb 크기의 inverted repeat sequence(IR)를 가지고 있다. Cp DNA는 rRNA 유전자, tRNA 유전자 외에도 엽록체내에서 합성되는 거의 모든 단백질에 대한 유전자를 가지고 있는데 (Murphy and Thompson, 1988; Sugiura, 1989) 일부 단백질이 원핵생물과 상동성을 가지며 기본적인 조절부위의 염기서열은 원핵생물과 유사하나 진핵생물에서 발견되는 인트론을 포함하는 등 원핵생물적 특성과 진핵생물적 특성을 동시에

나타낸다 (Marcus, 1989). 이 중 *rbcL* 유전자는 광합성의 캘빈회로에서 ribulose-1,5-bisphosphate의 carboxylation과 동시에 광호흡을 행하는 bifunctional enzyme인 RuBisCo의 두 소단위체 중 큰소단위체인 LSU를 암호화하는 유전자이다. LSU는 엽록체에서 합성되며 활성자리를 포함하는 반면, RuBisCo의 작은 소단위체인 SSU는 핵에서 합성되어 그 전구체가 엽록체로 수송되는 동안 processing된 후 LSU와 조립되는데 그 기능은 아직 밝혀지지 않았다 (Guttridge and Gatenby, 1987; Link and Bogorad, 1980; Zurawski *et al.*, 1981; Gringrich and Hallick, 1985).

옥수수에서 LSU를 암호화하는 *rbcL* 유전자는 엽록체 DNA의 *Bam*HI 9 절편내에 2.5 kb 크기로 존재한다는 것이 밝혀졌으며 (Coen *et al.*, 1977), *rbcL* 유전자의 3'-말단으로부터 0.33 kb 떨어져 2.5 kb 전사체를 코우닝하는 *atpB* 유전자가 존재하는데 이 두 유전자는 서로 반대 방향으로 전사된다 (Link and Bogorad, 1980). *rbcL* 유전자의 프로모터는 엽록체내 대부분 유전자의 프로모터 부위와 같이 원핵생물의 ~10 부위와 -35 부위와 상동성을 나타내는데 이는 고등식물의 엽록체 유전자에 있어 필수적인 것은 아니다. *rbcL* 유전자의 5' 지역은 쌍자염 식물과 단자염 식

불에서 80% 이상의 상동성을 갖는다(Marcus, 1989). 단일 사본으로 존재하는 *rbcL* 유전자는 이전에 밝혀진 1.6 kb mRNA와 함께 이보다 238 뉴클레오티드 상류로부터 합성되는 1.8 kb mRNA를 합성하는데 이들간의 비율은 광유발 발생단계동안 변화된다(Crossland *et al.*, 1984).

염록체 유전자의 발현조절은 염록체 유전자 뿐 아니라 유전자에 의해서도 조절되므로 더욱 복잡하며 염록체 광유전자의 발현조절은 유전자의 종류나 식물종에 따라 매우 다양한 기작에 의해서 이루어진다(Fromm *et al.*, 1985; Berry *et al.*, 1985). 지구상에서 가장 풍부한 단백질 중 하나인 RuBisCo는 염록체 수용성 단백질의 60% 이상을 차지하는 매우 중요한 효소로서 RuBisCo 효소의 LSU와 SSU는 빛에 의한 발현이 서로 다르게 조절된다(Inamine *et al.*, 1985; Shirley and Meagher, 1990). LSU의 경우, 일부 식물에서는 빛에 의한 mRNA의 양적 변화가 확실한 반면 다른 식물에서는 거의 변화가 없다는 상반된 보고가 있으며(Nelson *et al.*, 1984; Tobin and Silverthorn, 1985; Rodermel and Bogorad, 1985) 여러 식물종의 발생단계에 따른 다양한 조절기작이 보고되어 있다(Fromm *et al.*, 1985; Nelson *et al.*, 1984; Tobin and Sutte, 1980; Sasaki *et al.*, 1984; Berry *et al.*, 1986, 1988; Klein *et al.*, 1988). 그러나 많은 연구 결과에도 불구하고 다양한 외부적, 내부적 요인에 의한 각 유전자의 확실한 조절기작의 확립을 위해서는 계속적인 연구가 수행되어야 할 것이다.

본 실험에서는 식물체내에서 매우 중요한 효소인 RuBisCo의 두 단위체중 염록체에서 합성되는 LSU 유전자의 발현조절에 관한 특성을 연구하기 위한 실험의 일환으로 옥수수의 *rbcL* 유전자를 클로닝하였다. 국외에서는 이미 Coen 등(1977)이 옥수수의 *rbcL* 유전자를 포함하는 재조합플라스미드, pZmc37을 합성하였으나 이 재조합 플라스미드를 얻을 수 없을 뿐 아니라 국내에서는 아직 염록체 *rbcL* 유전자의 클로닝에 관한 보고가 없으며 본 실험에 사용된 옥수수 품종은 *Zea mays* L. Golden cross Bantam T-51이므로 *rbcL*에 관해 연구된 기준의 *Zea mays* L. WFG TMS×BS7(Coen *et al.*, 1977)이나 FR9×FR37(Bedbrook *et al.*, 1978; Hanley-Bowdoin *et al.*, 1985) 품종 등의 연구결과와 비교할 수 있을 것이라 사료되므로 *rbcL* 유전자가 클로닝된 새로운 재조합 플라스미드, pRLYS1를 합성하였다. 앞으로 이를 이용하여 *rbcL* 유전자 프로모터 부위의 특성 및 광을 비롯한 여러 환경요인에 대한 *rbcL* 유전자의 발현조절 기작에 관해 연구하고자 한다.

## 재료 및 방법

**식물재료.** 본 실험에 사용한 옥수수(*Zea mays* L.) 종자는 Sakada 종자회사의 Golden cross Bantam T-51이

었으며 이를 2% sodium hypochlorite solution에서 살균하여 28°C의 암처에서 24시간 동안 침윤시킨 후 vermiculite에 심어 28°C growth chamber에서 8일간(16 h light: 8 h dark) 성장시켰다.

**사용된 균주, 플라스미드 및 배양.** 본 실험에서 host cell로 사용된 균주는 *E. coli* DH5α와 JM109(Sambrook *et al.*, 1989)였으며 vector로는 pUC19(Sambrook *et al.*, 1989)을 사용하였다. *E. coli*는 LB 배지에서 접종하여 37°C에서 배양시켰다.

**플라스미드의 분리.** 플라스미드 DNA의 대량분리는 Marko 등(1982)의 방법을 이용하였고, 소량분리는 Birnboim과 Doly(1979)의 방법을 이용하여 분리하였다.

**염록체 DNA의 분리.** 옥수수로부터 염록체 DNA의 분리는 Kolondner와 Tewari(1975)의 방법을 변형하여 사용하였다. 특별한 언급이 없는 한 실험은 4°C에서 수행하였다. 8일된 옥수수 잎 300 g을 수확하여 1.2 liter의 buffer A(0.3 M mannitol, 0.05 M Tris, 0.3 M EDTA, 0.001 M mercaptoethanol, 0.1% BSA, pH 8.0)에서 Buhler homogenizer로 마쇄한 후 2겹의 cheesecloth와 4겹의 Miracloth에 여과시켜 40×g에서 10분간 원심분리하였다. 상층액을 다시 1020×g로 원심분리하여 얻은 침전물을 60 ml buffer A에 혼탁하고 MgCl<sub>2</sub>(0.01 M)와 DNase(50 mg/ml)를 가해 4°C에서 1시간 동안 반응시킨 후 180 ml의 buffer B(0.3 M sucrose, 0.05 Tris, 0.02 M EDTA, pH 8.0)를 가해 1500×g에서 15분 동안 원심분리하였다. 침전물은 180 ml의 buffer B로 두번 세척한 후 1500×g에서 다시 원심분리하여 세척된 염록체를 얻었다. 이를 옥수수 잎 25 g당 4.8 ml의 buffer C(0.05 M Tris, 0.02 M EDTA, pH 8.0)에 혼탁시키고 10% sodium sarcosyl을 포함하는 1.2 ml의 buffer C를 가해 실온에서 30분간 냉치시킨 후 4 M CsCl가 함유된 2 ml의 buffer C를 가해 얼음에 1.5 시간동안 냉치하였다. 이를 12000×g에서 30분간 원심분리한 후 얻어진 상층액에 CsCl ( $\rho=1.55$ )와 EtBr(final concentration=740 µg / ml)을 가해 Hitachi RP-65 rotor로 38,000 rpm에서 48시간 동안 초원심분리하여 염록체 DNA 밴드를 얻었다.

**재조합 플라스미드 pJJ1의 제조.** 명지대 남백희 교수님으로부터 얻은 쌀의 *rbcL* 유전자 내부에 존재하는 0.56 kb 크기의 *Pst*I 절편을 동일한 세한효소 *Pst*I으로 절단하고 calf intestinal alkaline phosphatase(CIP)로 5'-인산기를 제거한 pUC19에 ligation한 후 얻어진 재조합 DNA로 *E. coli* JM109를 형질전환시켰다. 위의 실험은 Sambrook 등(1989)의 방법으로 수행하였다.

***rbcL* 유전자의 클로닝.** 옥수수로부터 분리한 Cp DNA를 제한효소 *Bam*H I으로 절단하여 전기영동한 후 *Bam*H I 9 절편을 겔로부터 회수하였다. 동일한 제한효소로 절단한 후 CIP를 처리한 pUC19에 회수된 *Bam*H I 9 절편을 liga-

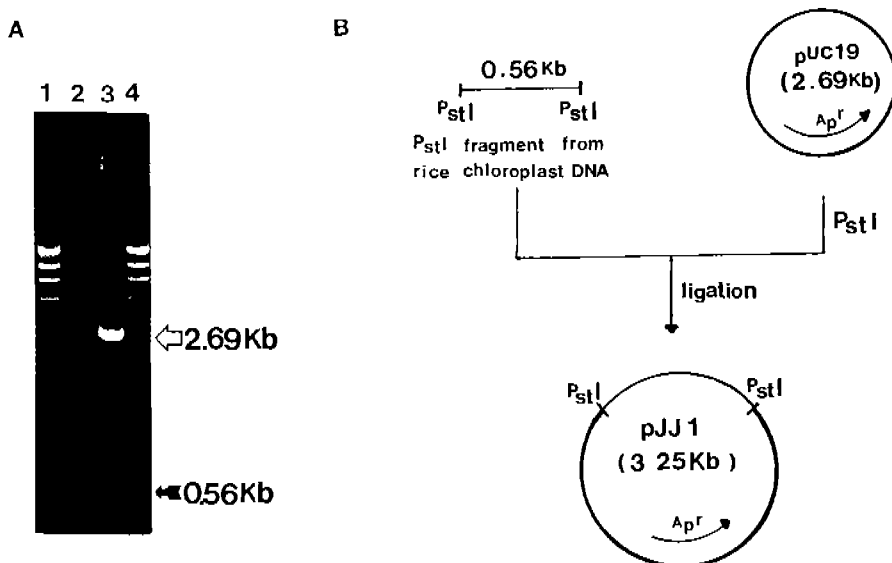


Fig. 1. Gel electrophoretic pattern and cloning scheme of pJJ1. Electrophoresis was carried in 0.7% agarose at 100 V. A. *Pst*I digests of pJJ1. Lane 1, 4:  $\lambda$ -HindIII (size marker). 2: pJJ1 (uncut). 3: two digests of pJJ1. Filled and empty arrow indicate insert DNA and vector DNA, respectively. B. Cloning scheme of pJJ1.

tion하여 *E. coli* DH5 $\alpha$ 를 형질전환시켰다. 위의 실험은 Sambrook 등(1989)의 방법으로 수행하였다.

**형질전환체의 선별.** Ampicillin(100  $\mu$ g/ml)이 함유된 LB 배지에 5-bromo-4-chloro-3-indolyl- $\beta$ -D-galactopyranoside(X-gal)와 isopropylthio- $\beta$ -D-galactoside(IPTG)를 도말하여 건조시키고 형질전환시킨 *E. coli* DH5 $\alpha$ 를 도말하여 성장시킨 후 생성된 흰색 콜로니를 선별하였다.

**Southern hybridization.** 재조합 플라스미드 pJJ1로부터 벼의 *rbcL* 유전자 일부인 *Pst*I 절편을 회수하기 위해 pJJ1을 *Pst*I로 절단한 후 전기영동하여 0.56 kb 크기의 *Pst*I 절편을 electroelution 방법으로 회수하였다. 이를 probe로 하여 Sambrook 등(1989)의 방법에 따라 Cp DNA의 *Bam*HI 절편들 및 본 실험에서 새로 만든 재조합 플라스미드와 각각 hybridization을 수행하였다.

## 결과 및 고찰

**재조합 플라스미드 pJJ1의 확인.** X-gal과 IPTG가 도말된 ampicillin이 함유된 LB 배지로부터 재조합 플라스미드를 가지고 있다고 생각되는 흰색 콜로니들을 선별한 후 소량분리하여 *Pst*I로 절단하였다. 이를 전기영동하여 vector인 pUC19 DNA와 insert인 0.56 kb의 *Pst*I 절편 밴드를 확인하였고(Fig. 1A) 이를 pJJ1이라 명명하였다. pJJ1의 cloning scheme은 Fig. 1B와 같다.

Cp DNA의 제한효소 처리 및 Cp DNA내 *rbcL* 유전자의

위치확인. 옥수수로부터 분리한 Cp DNA를 제한효소 *Bam*HI으로 절단하여 전기영동하였다(Fig. 2A). 이를 nitrocellulose filter로 transfer한 후 pJJ1으로부터 회수한 쌀의 *rbcL* 유전자 중 0.56 kb 크기의 *Pst*I 절편부위(Fig. 1A)를 probe로 하여 Southern hybridization을 수행한 결과 *Bam*HI 9 절편에 *rbcL* 유전자가 존재한다는 Coen 등(1977)의 보고를 확인하였다(Fig. 2B). Negative control로는  $\lambda$ -HindIII를 사용하였다.

*rbcL* 유전자가 클로닝된 재조합 플라스미드 pRLYS1의 선별. X-gal과 IPTG가 도말된 ampicillin이 함유된 LB 배지로부터 흰색 콜로니들을 선별하였다. 선별된 형질전환체는 소량분리하여 *Bam*HI으로 절단한 후 전기영동하여 vector인 pUC19(2.69 kb)과 insert인 4.35 kb 크기의 Cp DNA *Bam*HI 절편의 밴드를 확인하였다(Fig. 3, lane 3). 옥수수 염록체 DNA 절편중 제한효소 *Bam*HI에 의해 생성되는 4.35 kb 크기의 절편은 두 종류이다. 이 두 절편은 동일한 *Sal*I 절편내에 존재하며 크기는 같으나 염기서열이 다르다. 즉, 완전한 *rbcL* 유전자 부위를 포함하고 있는 *Bam*HI 9 절편은 *Hind*III에 대한 인식 부위를 가지고 있지 않은 반면, 다른 유전자 부위인 *Bam*HI 9' 절편은 *Hind*III에 대한 두개의 인식부위를 가지고 있다는 Bedbrook 등(1979)의 보고에 따라 본 실험에서 합성된 재조합 플라스미드 중 *rbcL* 유전자 절편을 가지고 있는 재조합 플라스미드만을 선별하기 위하여 재조합 플라스미드들을 제한효소로 절단하고 이를 전기영동하였다. *Hind*III로 절단하였을 경-

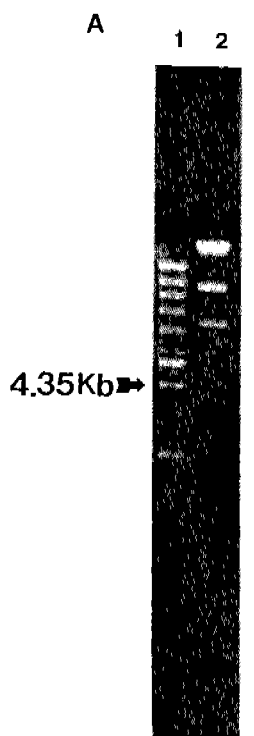


Fig. 2. Agarose gel electrophoresis of the restriction fragments of maize chloroplast DNA and blot-transfer hybridization to the rice *rbcL* probe. Maize chloroplast DNA was digested with *Bam*HI and electrophoresed in 0.7% agarose gel at 100 V. The DNA fragments were transferred to a nitrocellulose filter for hybridization. A. Photograph of *Bam*HI digests of chloroplast DNA. Lane 1: *Bam*HI digests of chloroplast DNA. 2:  $\lambda$ -*Hind*III (size marker). The arrow indicates LSU encoding fragment. B. Autoradiograph of filter hybridized to the  $^{32}$ P-labeled 0.56 kb *Pst*I fragment as the part of the rice *rbcL*. Lane 1: hybridization of rice *Pst*I fragment encoding *rbcL* gene to the 4.35 kb *Bam*HI fragment of chloroplast DNA. 2:  $\lambda$ -*Hind*III (negative control).

우 *Hind*III에 대한 인식부위가 4.35 kb의 *Bam*HI 절편에는 없고 vector로 사용된 pUC19의 multicloning site에만 존재해 7.14 kb(2.69 kb + 4.35 kb)의 선형 DNA 분자로 전환되고(Fig. 3, lane 4) *Bam*HI와 *Hind*III로 동시에 절단하였을 때 pUC19 내의 multicloning site 내에 인접해서 *Hind*III와 *Bam*HI에 대한 인식 부위가 모두 존재하여 pUC19 부위 이외에는 부가적인 *Hind*III 인식부위가 없어 insert DNA와 vector의 두 DNA 절편으로만 절단되는(Fig. 3, lane 5) *rbcL* 유전자 부위인 *Bam*HI 9 절편을 갖는 재조합 플라스미드를 선별하였다. 또한 pJJ1으로부터 쌀의 *rbcL* 유전자의 일부인 *Pst*I 절편을 회수한 후 probe로 사용하여

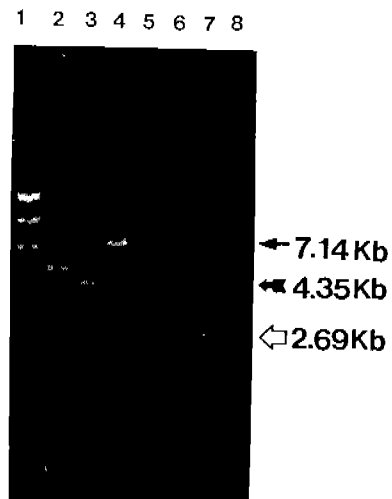


Fig. 3. Restriction fragments of the pRLYS1. Electrophoresis was carried in 0.7% agarose at 100 V. Lane 1, 8:  $\lambda$ -*Hind*III (size marker). 2: pRLYS1 (uncut). 3: *Bam*HI digests of pRLYS1. 4: *Hind*III digests of pRLYS1. 5: double digests of pRLYS1 with *Bam*HI and *Hind*III. 6: pUC 19 (uncut). 7: *Bam*HI digest of pUC19. Filled and empty arrow indicate insert DNA and vector DNA, respectively.

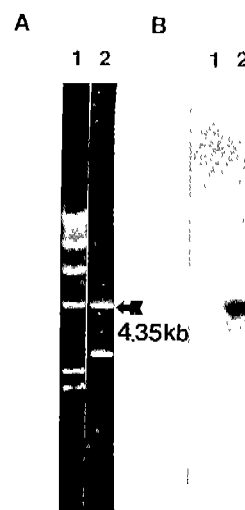
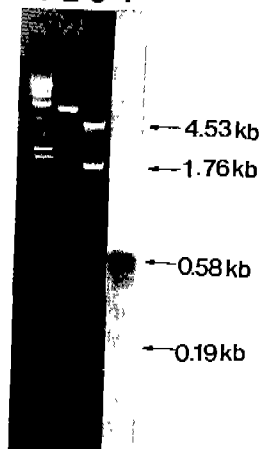


Fig. 4. Hybridization analysis of cloned *rbcL* fragment in pRLYS1. A. Gel electrophoresis of *Bam*HI fragments of pRLYS1 (lane 2) and  $\lambda$ -*Hind*III as size marker (lane 1). Electrophoresis was carried in 0.7% agarose at 100 V. The arrow indicates *Bam*HI fragment of *rbcL* gene from maize. B. Autoradiograph of *Bam*HI digests of pRLYS1 fractionated on gel as shown in A. Lane 1:  $\lambda$ -*Hind*III (negative control). 2: hybridization between probe and 4.35 kb *Bam*HI fragment of pRLYS1.

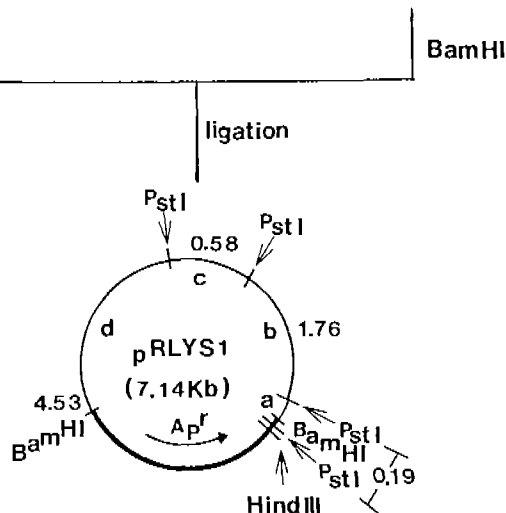
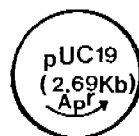
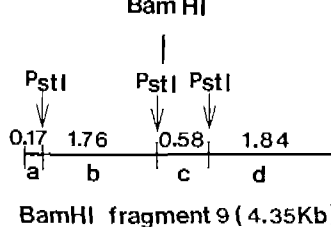
A.

1 2 3 4



B.

## chloroplast DNA of maize (139Kb)



**Fig. 5.** A. Identification by gel electrophoresis and hybridization analysis of DNA fragment encoding *rbcL* gene inserted in pRLYS1. Electrophoresis was carried in 1.2% agarose at 100 V. Lane 1:  $\lambda$ -HindIII (size marker). 2: pRLYS1 (uncut). 3: PstI digests of pRLYS1. The forth fragment (0.19 kb) is not shown in this photograph. 4: autoradiograph of the hybridization between probe and pRLYS1 digests as shown in lane 3. B. Strategy for construction of recombinant plasmid, pRLYS1, combining *Bam*HI 9 fragment of Cp DNA from maize and *E. coli* plasmid vector pUC19 and orientation of *rbcL* fragment in pRLYS1. The number indicates the size of DNA fragment.

위에서 선별된 재조합 플라스미드와 Southern hybridization 실험을 수행하였다. 이 실험으로부터 probe는 pRLYS1 중 4.35 kb의 삼입 DNA 밴드와만 정확하게 hybridization 되는 결과를 얻었다(Fig. 4B). Negative control로는  $\lambda$ -HindIII를 사용하였다. 제한효소를 이용한 분석과 hybridization 실험으로부터 확인된 완전한 *rbcL* 유전자를 포함하는 재조합 플라스미드는 pRLYS1이라 명명하였다.

pRLYS1 내부에 *rbcL* 유전자절편의 삽입방향 결정. pRLYS1 내부의 4.35 kb 크기의 *Bam*HI 9 절편은 *Pst*I에 대한 3개의 인식부위를 가지고 있어 *Bam*HI 9 절편을 제

한효소 *Pst*I으로 절단하였을 경우 생성되는 절편의 크기는 각각 0.17 kb (a), 1.76 kb (b), 0.58 kb (c), 1.84 kb (d)이다 (Fig. 5B). 따라서 pRLYS1을 *Pst*I로 절단할 경우 *Bam*HI 9 절편의 삽입방향에 따라 4.35 kb, 0.58 kb, 1.76 kb, 0.19 kb의 절편이 생성되거나 1.76 kb, 0.58 kb, 1.86 kb, 2.86 kb의 절편이 생성된다. pRLYS1을 *Pst*I로 절단하여 전기영동한 결과 4.35 kb, 1.76 kb, 0.58 kb, 0.19 kb의 절편을 확인하였으므로 (Fig. 5A, lane 3) 이러한 결과로부터 pRLYS 1 내부에 4.35 kb 크기의 *rbcL* 유전자 절편의 삽입방향을 결정하였다. 또한 pRLYS1을 *Pst*I로 절단한 후 쌀의 *rbcL*

유전자중 *PstI* 절편과 Southern hybridization한 결과 pRLYS1의 4개의 *PstI* 절편중 probe로 사용한 쌀의 *PstI* 절편과 94%의 상동성을 갖는 부위인 0.58 kb 크기의 *PstI* 절편 밴드와만 hybridization 되었으므로(Fig. 5A, lane 4) pRLYS1 내부에 *rbcL* 유전자의 존재를 재차 확인하였다. 그의 삽입방향과 cloning scheme은 Fig. 5B와 같다. 위와 같은 완전한 *rbcL* 유전자를 갖고 있는 재조합플라스미드 pRLYS1을 합성하였으므로 광유전자인 *rbcL* 유전자의 특성과 발현조절기작에 대해 계속적인 연구를 수행하기 위해 이 유전자의 sequencing 및 프로모터 부위의 subcloning 실험이 현재 진행중에 있다.

## 적  요

*rbcL* 유전자 발현조절에 관한 연구의 일환으로 Cp DNA로부터 분리한 *rbcL* 유전자를 클로닝하였다. 옥수수의 염록체로부터 DNA를 분리한 후 제한효소 *BamHI*으로 절단하여 *rbcL* 유전자가 포함된 *BamHI* 9 절편을 pUC19에 클로닝하여 재조합 플라스미드 pRLYS1을 만들었다. 쌀의 *rbcL* 유전자 일부를 probe로 사용하여 pRLYS1과 Southern hybridization한 결과와 제한효소 *BamHI*, *HindIII*, 그리고 *PstI*으로 절단된 pRLYS1 절편의 전기영동 결과로부터 재조합 플라스미드의 내부에 완전한 *rbcL* 유전자의 존재를 확인하였고 삽입방향을 결정하였다.

## 참  고  문  현

- Bedbrook, J.R., D.M. Coen, A.R. Beaton, L. Bogorad and A. Rich. 1979. Location of the single gene for the large subunit of ribulose bisphosphate carboxylase on the maize chloroplast chromosome. *J. Biol. Chem.* **254**: 905-910.
- Bedbrook, J.R., G. Link, D.M. Coen, L. Bogorad and A. Rich. 1978. Maize plastid gene expressed during photoregulated development. *Proc. Natl. Acad. Sci. USA* **75**: 3060-3064.
- Berry, J.O., B.J. Nikolau, J.P. Carr and D.F. Klessig. 1986. Translational regulation of light-induced ribulose 1,5-bisphosphate carboxylase gene expression in amaranth. *Mol. Cell. Biol.* **6**: 2347-2353.
- Berry, J.O., Nikolau, J.P. Carr and D.F. Klessig. 1985. Transcriptional and post-transcriptional regulation of ribulose 1,5-bisphosphate carboxylase gene expression in light- and dark-grown amaranth cotyledons. *Mol. Cell. Biol.* **5**: 2238-2246.
- Berry, J.O., J.P. Carr and D.F. Klessig. 1988. mRNAs encoding ribulose-1,5-bisphosphate carboxylase remain bound to polysomes but are not translated in amaranth seedlings transferred to darkness. *Proc. Natl. Acad. Sci. USA* **85**: 4190-4194.
- Birnboim, H.C. and J. Doly. 1979. A alkaline extraction procedure for screening recombinant DNA plasmid. *Nucl. Acids. Res.* **7**: 1513-1516.
- Coen, D.M., J.R. Bedbrook, L. Bogorad and A. Rich. 1977. Maize chroloplast DNA fragment encoding the large subunit of ribulose bisphosphate carboxylase. *Proc. Natl. Acad. Sci. USA* **74**: 5487-5491.
- Crossland, L.D., S.R. Rodermel and L. Bogorad. 1984. Single gene for the large subunit of ribulose bisphosphate carboxylase in maize yields two differentially regulated mRNAs. *Proc. Natl. Acad. Sci. USA* **81**: 4060-4064.
- Fromm, H., M. Devic, R. Fluhr and M. Edelman. 1985. Control of *psbA* gene expression: On mature *spirodela* chlo-roplast light regulation of 32-kd protein synthesis is independent of transcript level. *EMBO J.* **4**: 291-295.
- Gringrich, J.C. and R.B. Hallick. 1985. The *Euglena gracilis* chroloplast ribulose-1,5-bisphosphate carboxylase gene. *J. Biol. Chem.* **260**: 16162-16168.
- Gutteridge, S. and A.A. Gatenby. 1987. The molecular analysis of the assembly, structure and function of Rubisco. *Oxford Surveys of Plant Mol. Cell Biol.* **4**: 95-135.
- Hanley-Bowdoin, L., E.M. Orozco, J.R. and N-H. Chua. 1985. *In vitro* synthesis and processing of a maize chloroplast transcript encoded by the ribulose 1,5-bisphosphate carboxylase large subunit gene. *Mol. Cell. Biol.* **5**: 2733-2745.
- Herrmann, R.G., H.-J. Bohnert, K.V. Kowallik and J.M. Schmitt. 1975. Size, conformation and purity of chroloplast DNA of some higher plants. *Biochim. Biophy. Acta* **378**: 305-317.
- Inamine, G., B. Nash, H. Weissbach and N. Brot. 1985. Light regulation of the synthesis of the large subunit of ribulose-1,5-bisphosphate carboxylase in peas: Evidence for translational control. *Proc. Natl. Acad. Sci. USA* **82**: 5690-5694.
- Klein, R.R., H.S. Mason and J.E. Mullet. 1988. Light-regulated translation of chloroplast proteins. 1. Transcripts of *psaA-psaB*, *psbA*, and *rbcL* are associated with polysomes in dark-grown and illuminated barley seedlings. *J. Cell Biol.* **106**: 289-301.
- Kolodner, R. and K.K. Tewari. 1975. The molecular size and conformation of the chloroplast DNA from higher plants. *Biochim. Biophy. Acta* **402**: 372-390.
- Link, G. and L. Bogorad. 1980. Size, locations, and directions of transcription of two genes on a cloned maize chroloplast DNA sequence. *Proc. Natl. Acad. Sci. USA* **77**: 1832-1836.
- Marcus, A. 1989. In, The Biochemistry of Plants: A comprehensive treatise, Vol. 15. Academic press, San Diego. pp. 150-227.
- Marko, M.A., R. Chipperfield and H.C. Birnboim. 1982. A

- procedure for the large-scale isolation of highly purified plasmid DNA using alkaline extraction and binding to glass powder. *Anal. Biochem.* **121**: 382-387.
- Murphy, T.M. and W.F. Thompson. 1988. Genomes of chloroplasts and mitochondria. In, *Molecular Plant Development*, Prentice Hall. pp. 146-173.
- Nelson, T., M.H. Harpster, S.P. Mayfield and W.C. Taylor. 1984. Light-regulated gene expression during maize leaf development. *J. Cell Biol.* **98**: 558-564.
- Palmer, J.D. 1985. Comparative organization of chloroplast genomes. *Ann. Rev. Genet.* **19**: 325-354.
- Rodermeier, S.R. and L. Bogorad. 1985. Maize plastid photogenes: Mapping and photoregulation of transcript levels during light-induced development. *J. Cell Biol.* **100**: 463-476.
- Sambrook, J., E.F. Fritch and T. Maniatis. 1989. Molecular cloning: A laboratory manual, 2nd edition, Cold Spring Harbor Laboratory Press, New York.
- Sasaki, Y., Y. Tomoda and T. Kamikubo. 1984. Light regulates the gene expression of ribulosebisphosphate carboxylase at the levels of transcription and gene dosage in greening pea leaves. *FEBS Lett.* **173**: 31-35.
- Shirley, B.W. and R.B. Meagher. 1990. A potential role for RNA turnover in the light regulation of plant gene expression: Ribulose-1,5-bisphosphate carboxylase small subunit in soybean. *Nucl. Acids Res.* **18**: 3377-3385.
- Sugiura, M. 1989. The chloroplast genome. In, *The Biochemistry of Plants*, A. Marcus (ed). Vol. 15. Academic press, San Diego. pp. 133-150.
- Tobin, E.M. and J.L. Suttie. 1980. Light effects on the synthesis of ribulose-1,5-bisphosphate carboxylase in *Leptothrix gibba* L. G-3. *Plant Physiol.* **65**: 641-647.
- Tobin, E.M., and J. Silverthorne. 1985. Light regulation of gene expression in higher plants. *Ann. Rev. Plant Physiol.* **36**: 569-593.
- Zurawski, G., B. Perrot, W. Bottomley and P.R. Whitfeld. 1981. The structure of the gene for the large subunit of ribulose 1,5-bisphosphate carboxylase from spinach chloroplast DNA. *Nucl. Acids Res.* **9**: 3251-3270.

(1992. 5. 4 接受)